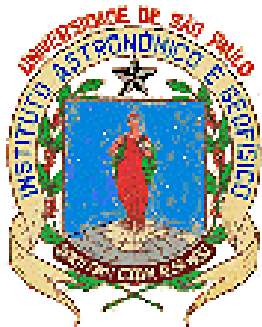


# Mecanismo Focal

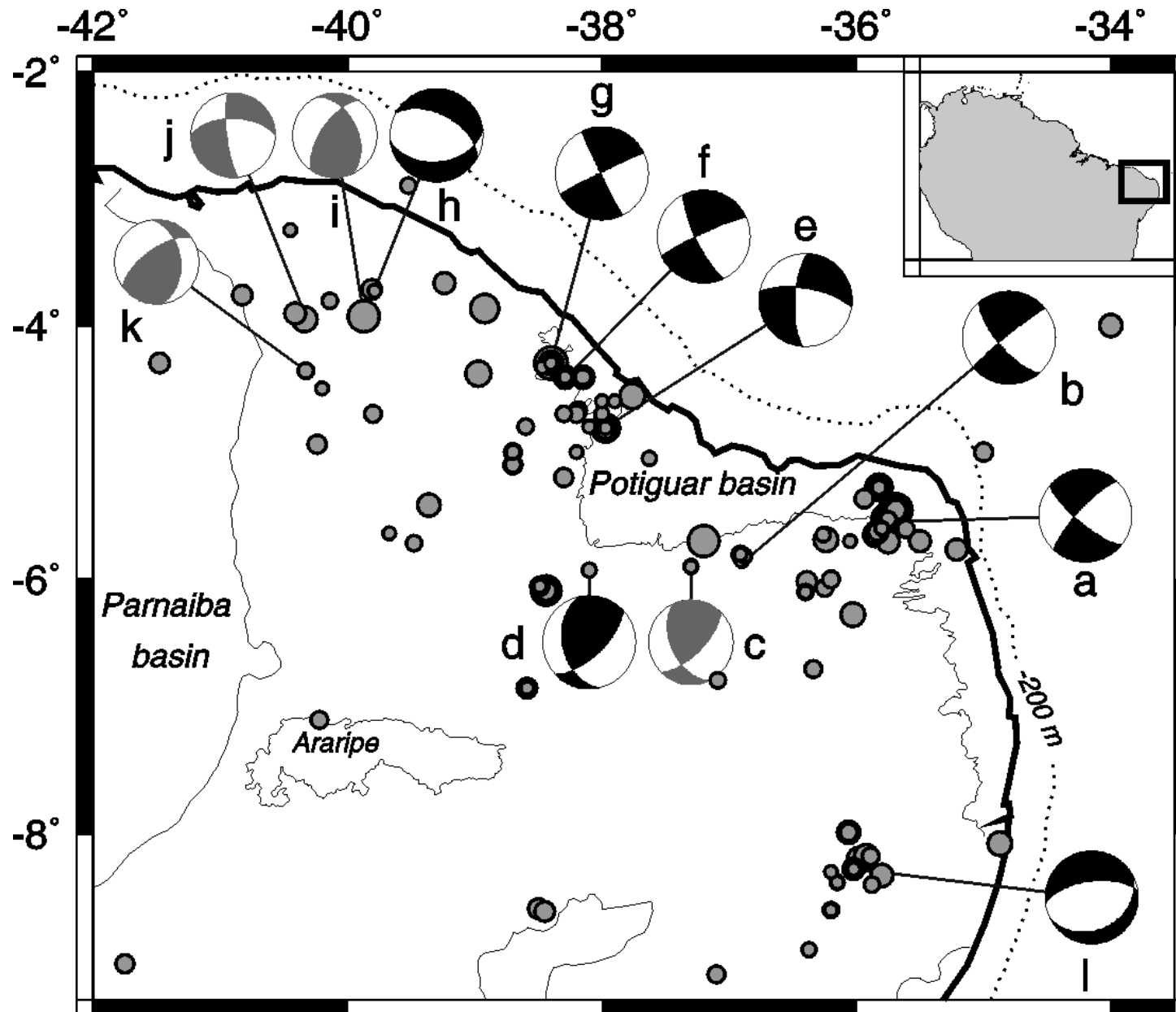
## Mecanismo de fallamiento

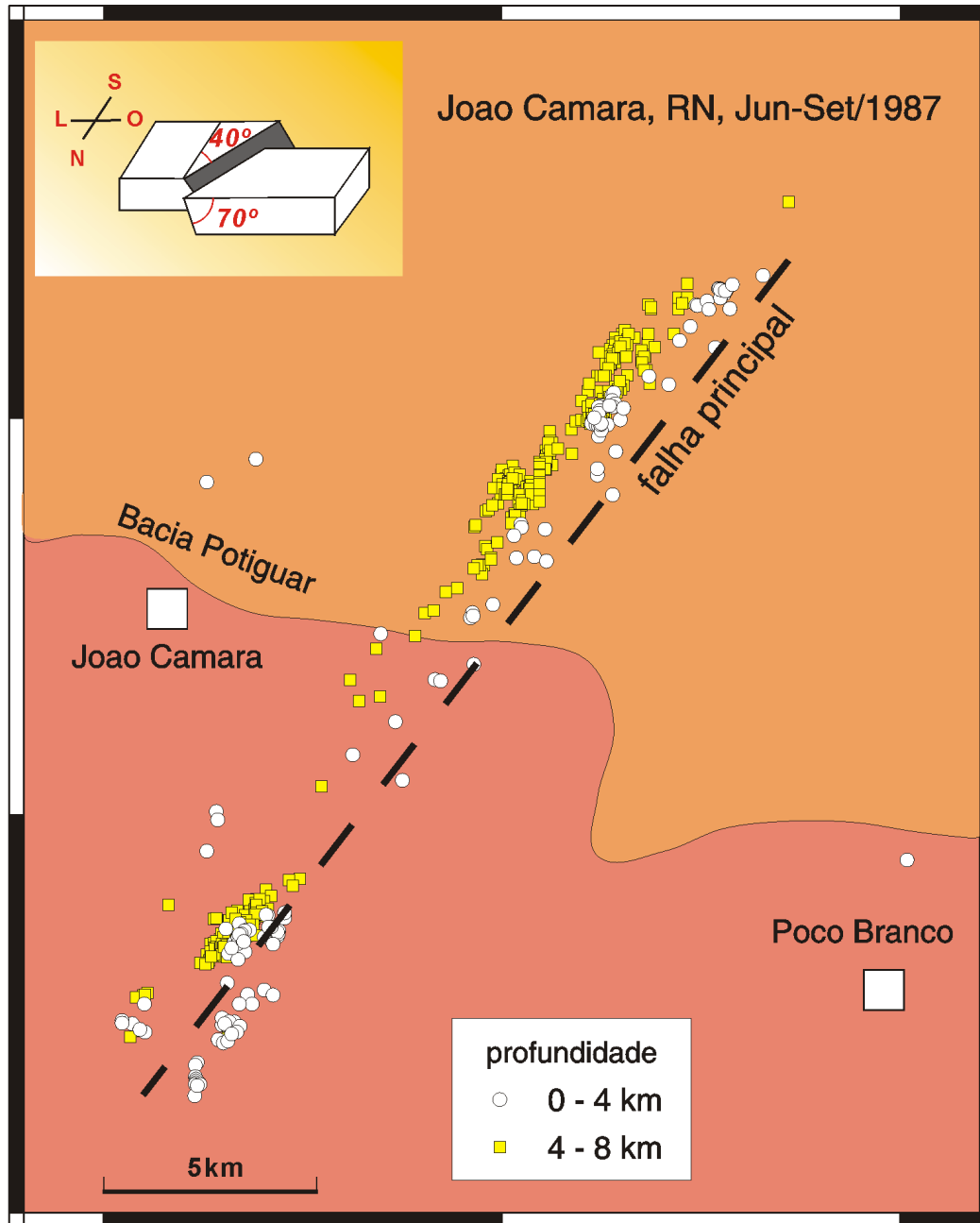


Marcelo Assumpção, Depto. de Geofísica, IAG-USP



# Mecanismos Focales en Nordeste de Brasil





## Mecanismo Focal:

-Determinación de la orientación de la falla (*strike, dip*) y el desplazamiento ("*slip vector*", o "*rake*"). Dirección del esfuerzo que causó el sismo.

- **Area de ruptura del sismo en la falla (A)**

- Caída de esfuerzo ("*stress drop*")

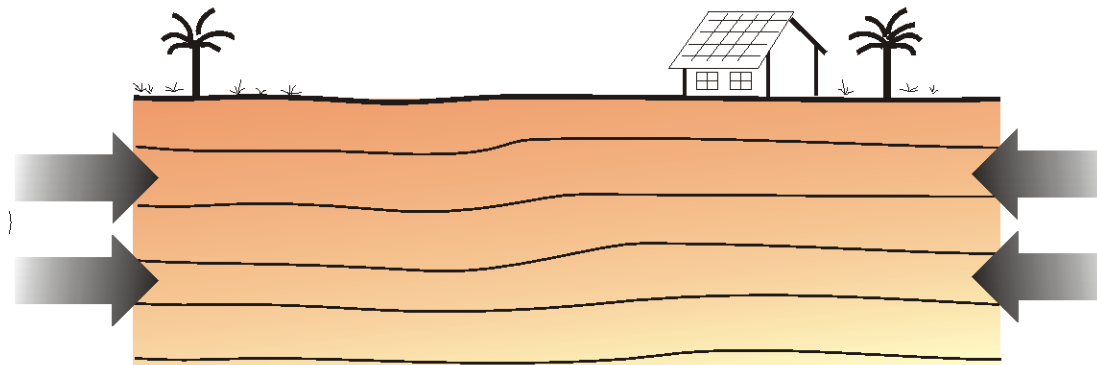
- desplazamiento promedio ("*slip*"), **d**

-Momento sísmico

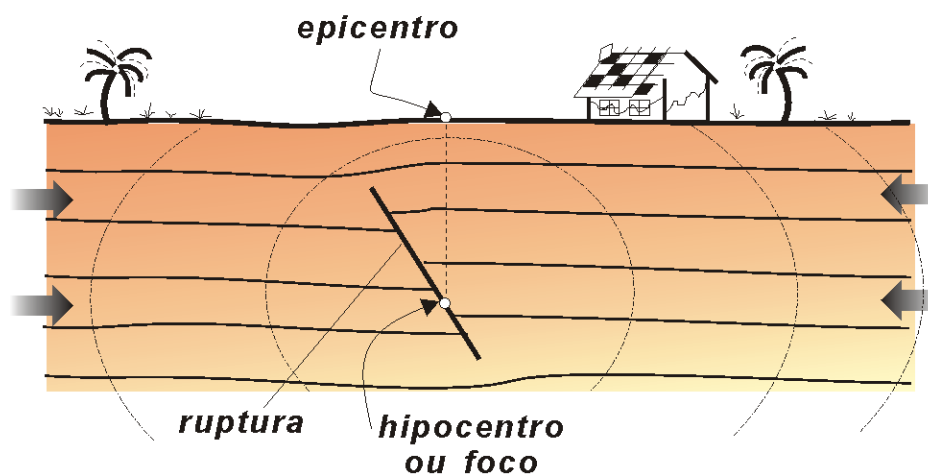
$$M_0 = \mu \mathbf{d} \mathbf{A}$$

( $\mu$  = módulo de rigidez)

"Falla Sísmica de Samambaia", João Câmara, RN, activa desde 1986. Longitud de ~35 km, magnitud máxima 5,1 mb.

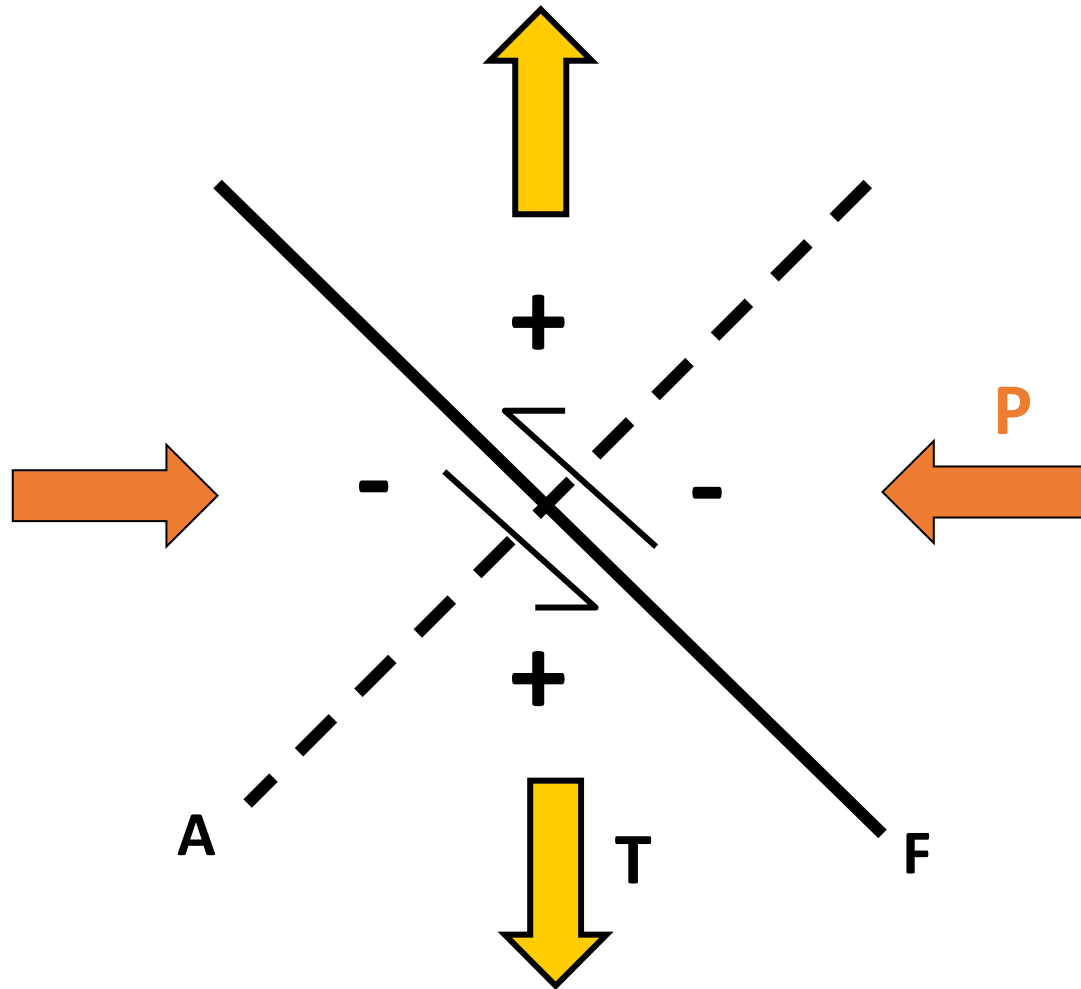


**Objetivo: determinar el “esfuerzo tectónico”.**



**Mecanismo focal puede ser determinado con las ondas sísmicas P, S y de superficie.**

# Ejes P (presión) y T (tensión)

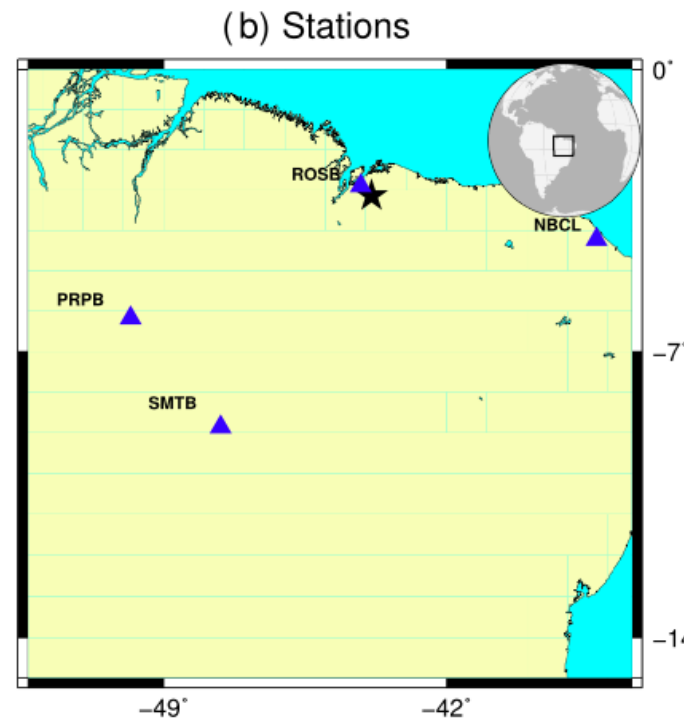
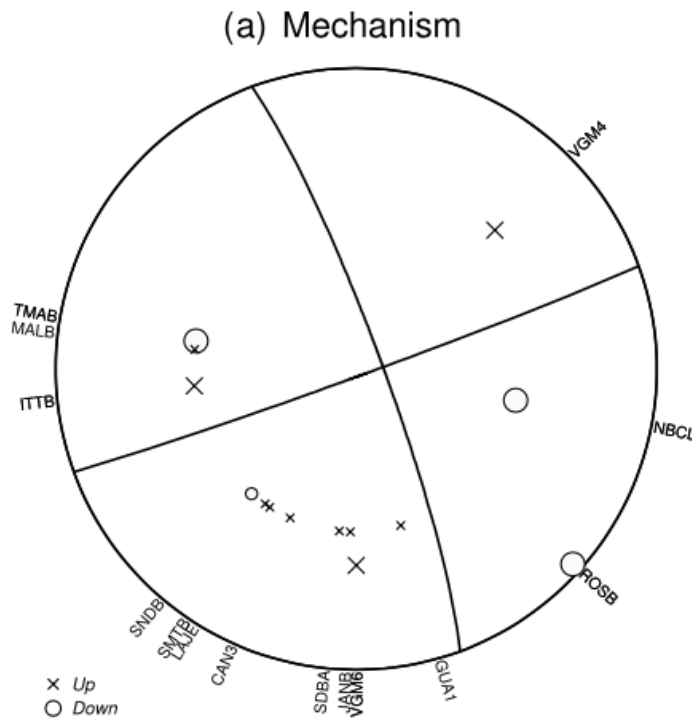


Onda P: para frente o p/ trás  
+ -  
("compresional" o "dilatacional")

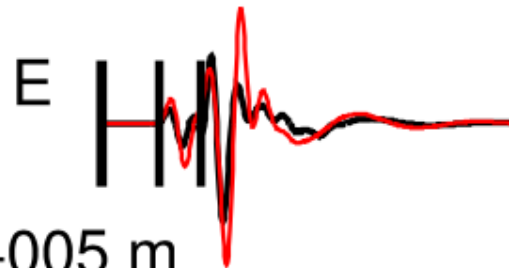
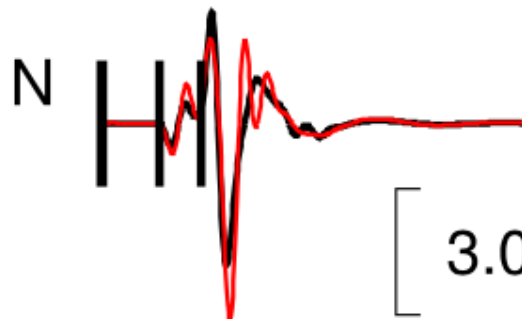
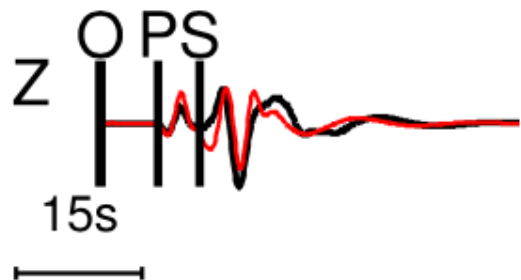
**P y T**  
a 45° de los planos  
F y A :  
esfuerzo **liberado**  
pelo sismo

Sismo do Maranhão,  
03-Jan-2017 m=4.3

- 1) No diagrama de polaridades da onda P (ao lado), indique a posição dos eixos P (Pressão) e T (Tração)
- 2) Para cada opção do plano de faha, diga se o movimento é dextral ou sinistral
- 3) Coloque os eios P e T na "beachball" abaixo.

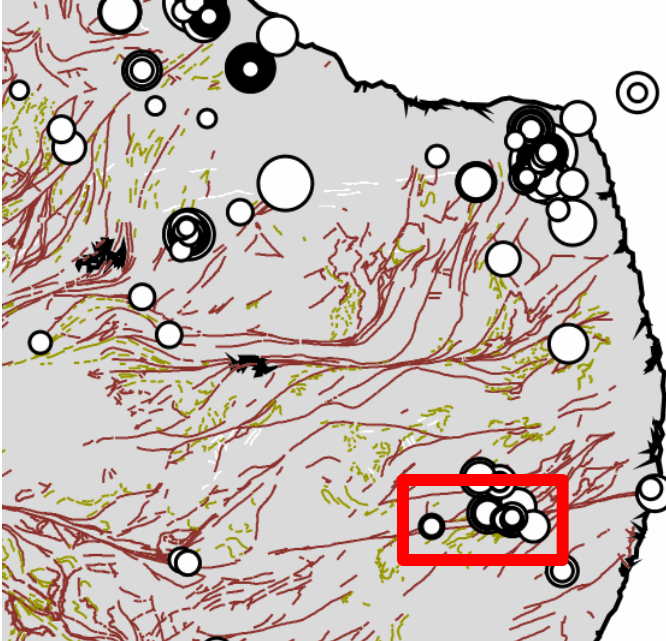


ROSB: Azi: 312° Dist: 39 km



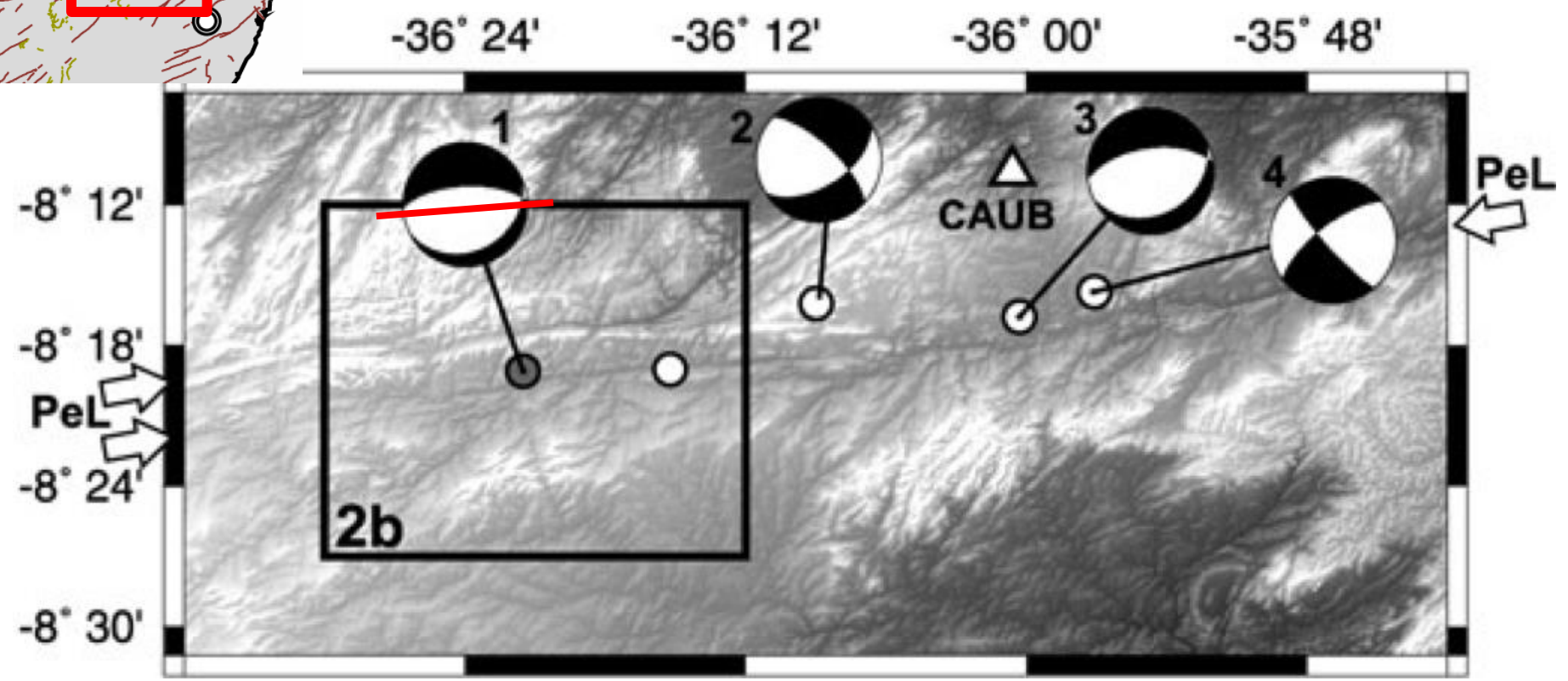
DC: 59.4(42.5/99.9)%  
CLVD: 40.6(0.1/57.5)%  
VOL: 0.0%

Sismos no Lineamento de Pernambuco:  
reativação de estruturas antigas mapeadas na superfície  
(caso raro no Brasil)

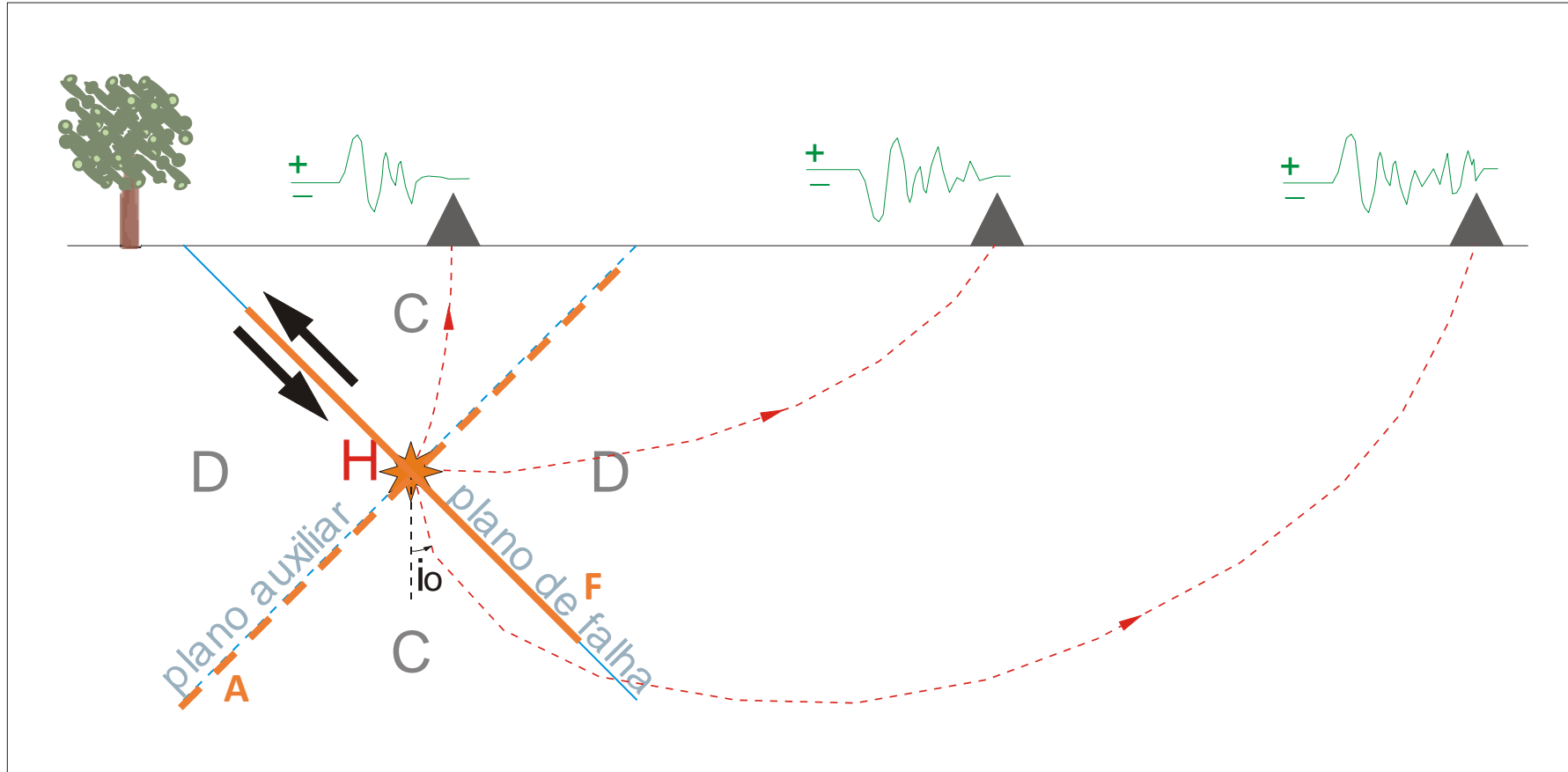


Lin. de Pernambuco

Exercício: Para os mecanismos 2 e 4 (falhas transcorrentes), indicar qual dos planos é a falha e a direção de movimentação (dextral ou sinistral). Indicar a direção provável do S1 (compressão máxima horizontal).



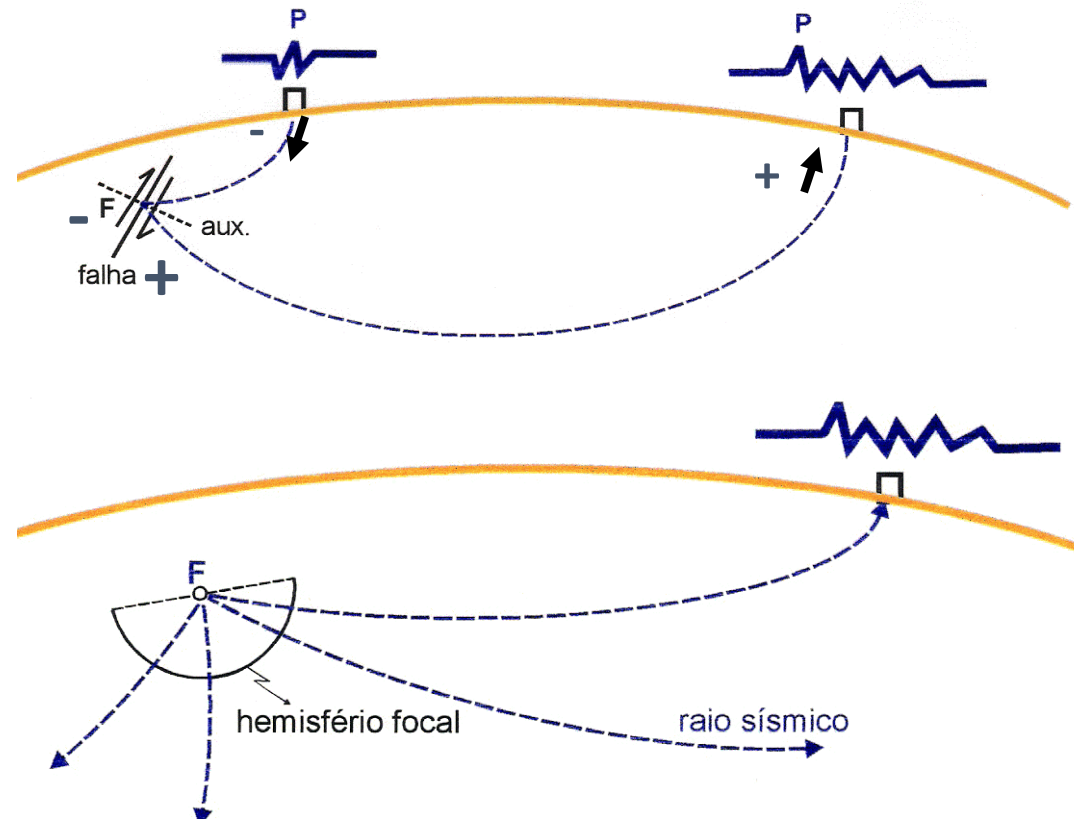
# Ondas P





# Mecanismo focal con ondas P

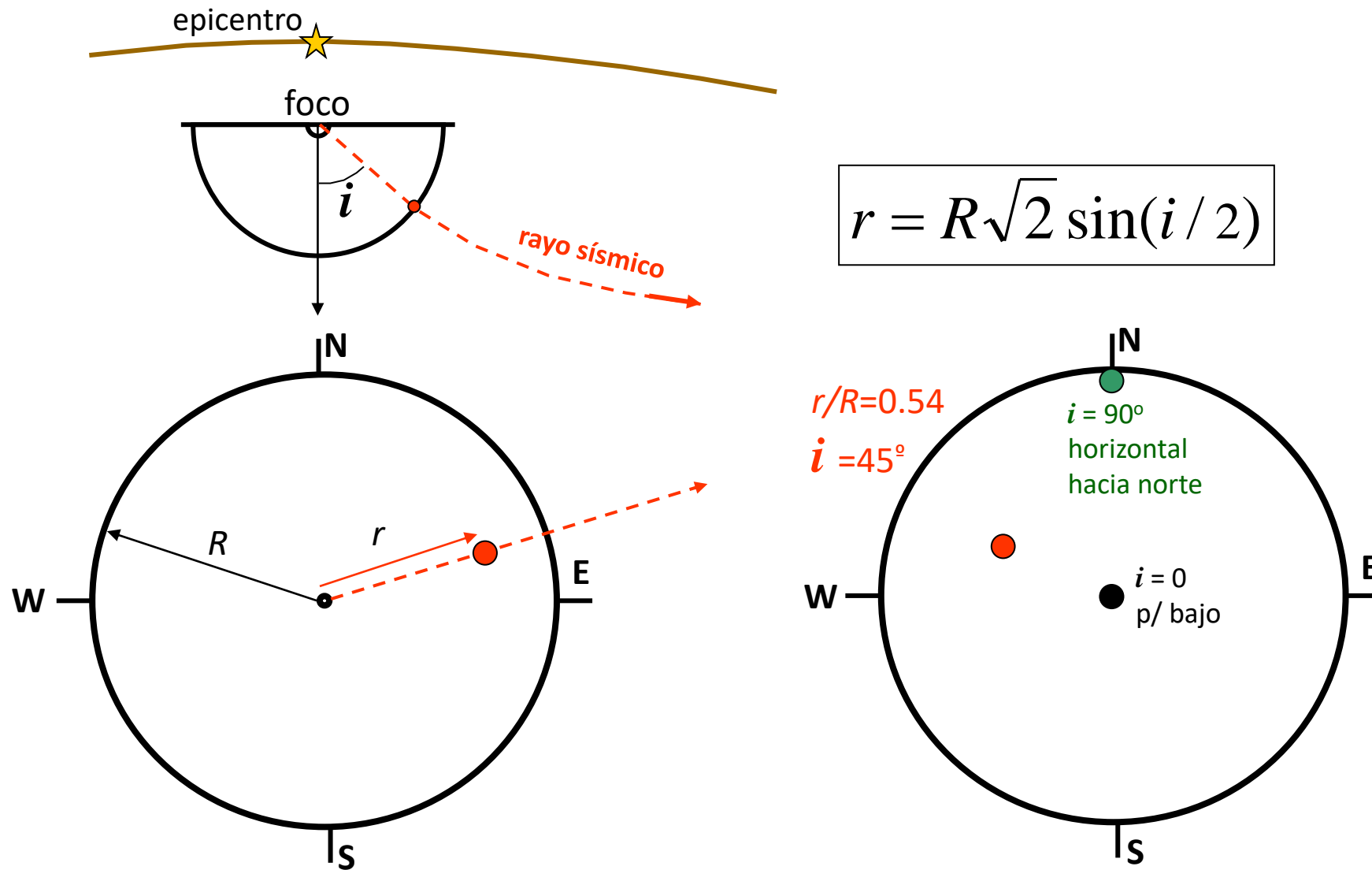
Determinación de los 2 planos (Falla y Auxiliar) que dividen el espacio en 4 cuadrantes con polaridades P distintas: empurrão (+) e puxão (-).



polaridades plotadas en un hemisferio inferior imaginario (suficientemente grande p/ la ruptura ser um “foco”, pero suficientemente pequena para que los rayos sean rectilíneos.

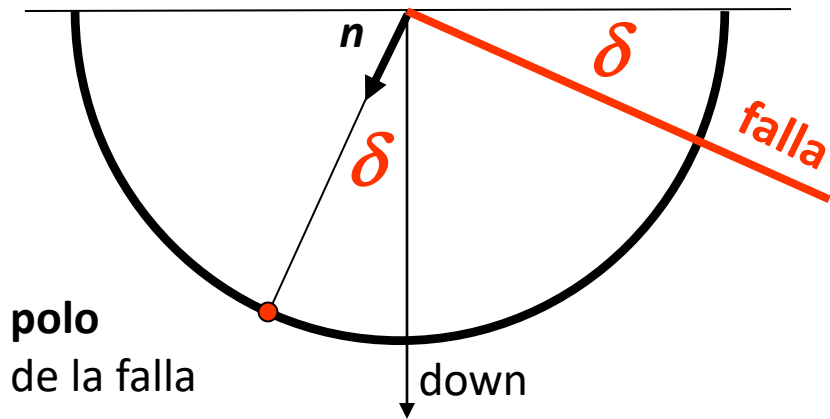
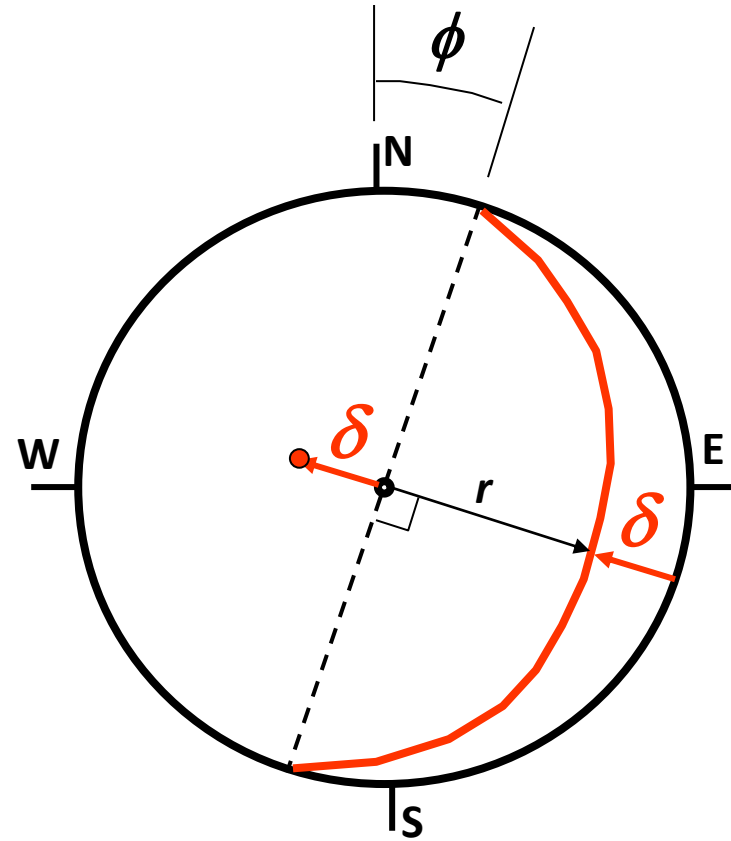
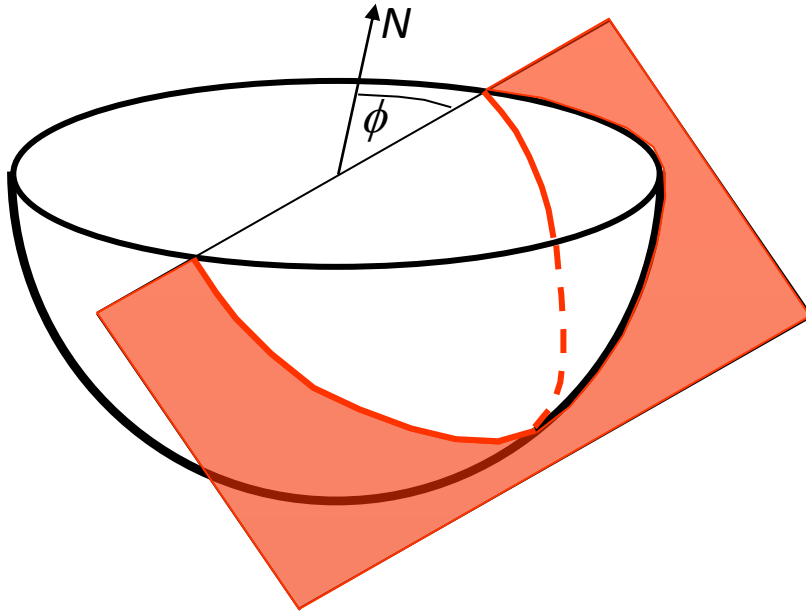
# Proyección estereográfica de Schmidt (area-igual)

representación de un rayo con ángulo de salida  $i$



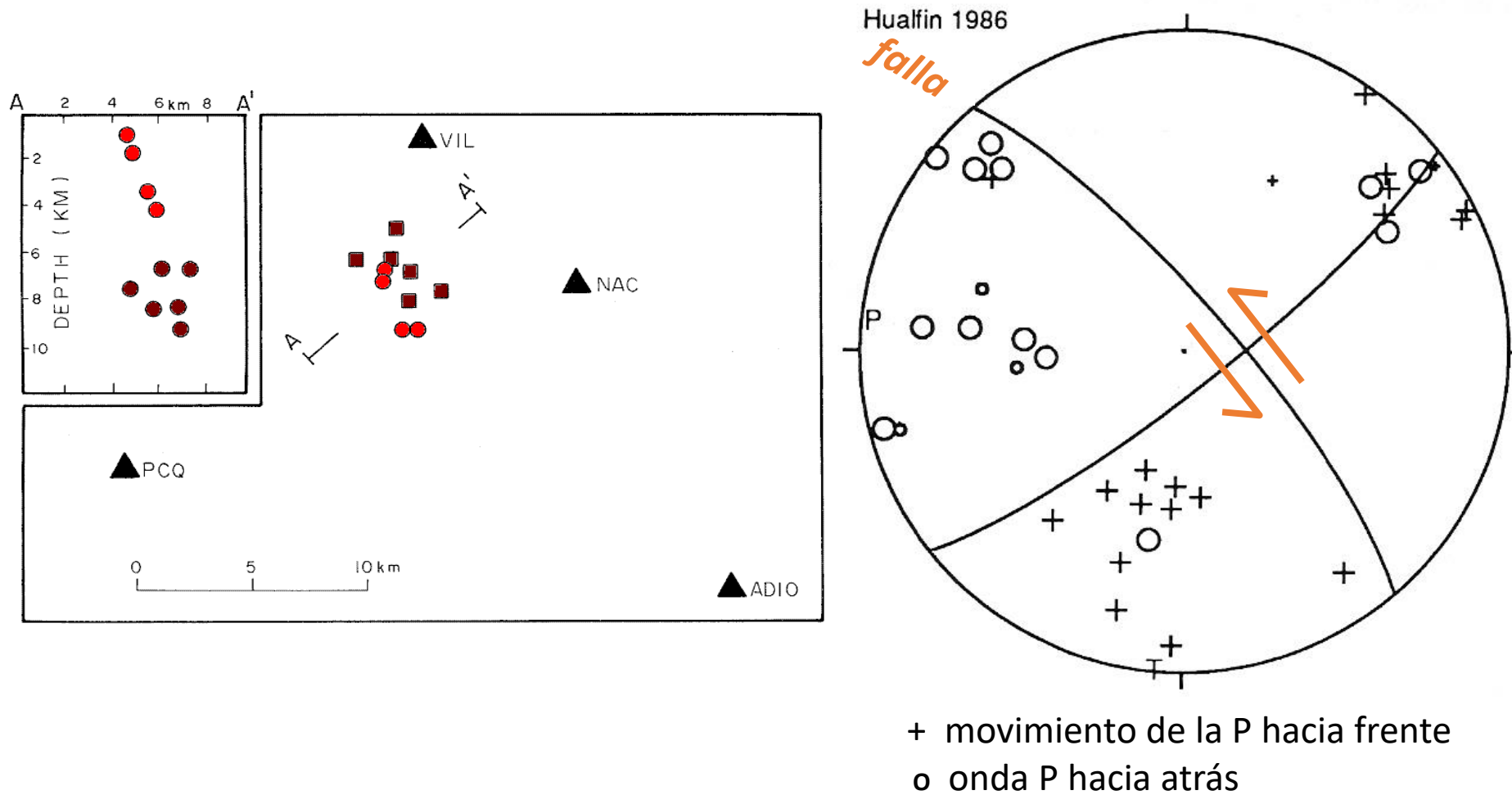
# Proyección estereográfica de Schmidt (area-igual)

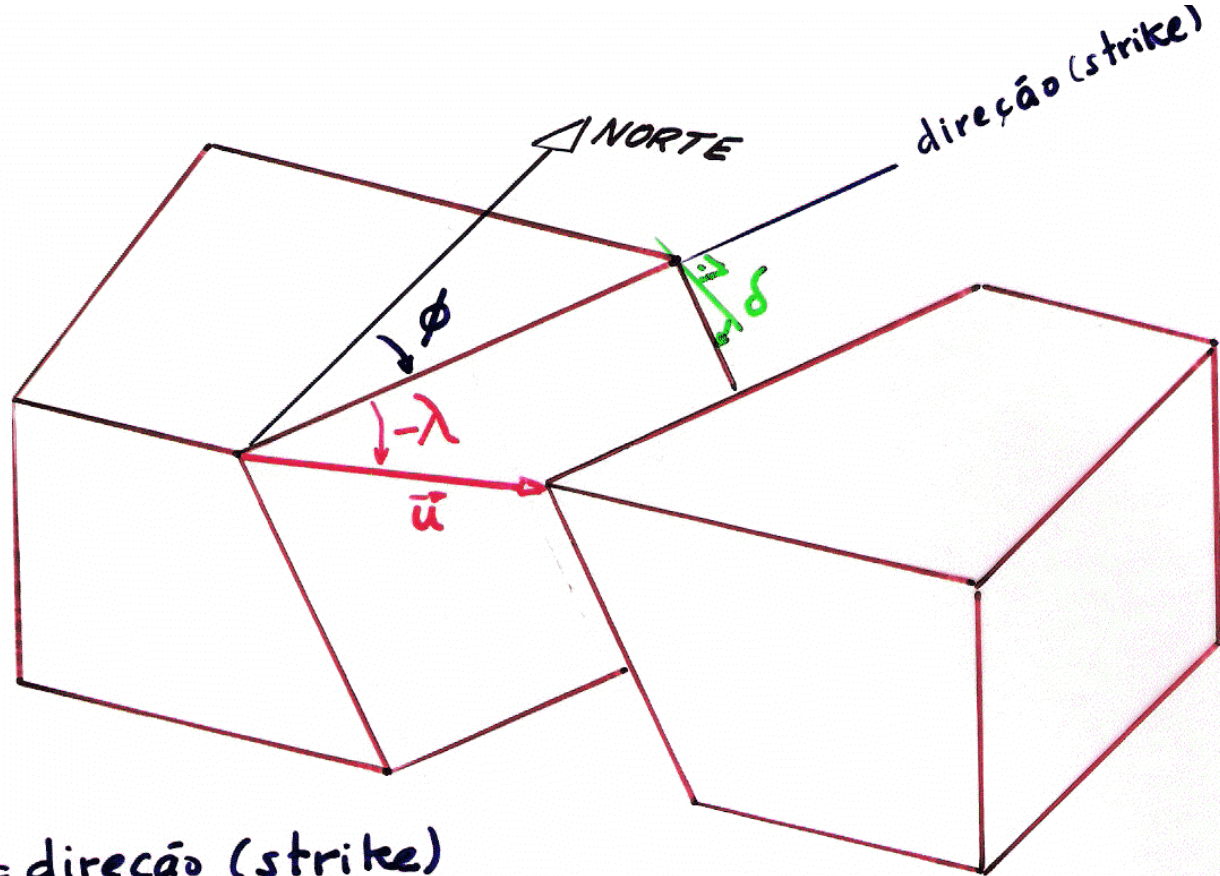
representación de un plano con buzamiento  $\delta$



$$r = R\sqrt{2} \sin((90 - \delta) / 2)$$

# Mecanismo Focal de Hualfin, Catamarca, 1986





$\phi$  = direção (strike)

$\delta$  = mergulho (dip)

$\lambda$  = ângulo do deslocamento (slip angle, rake)

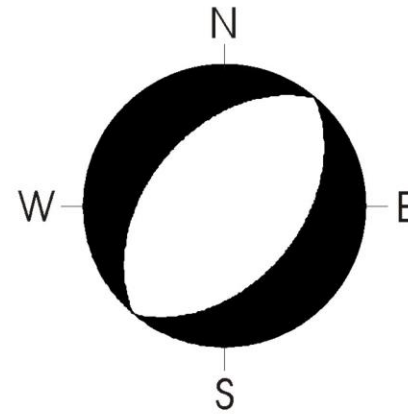
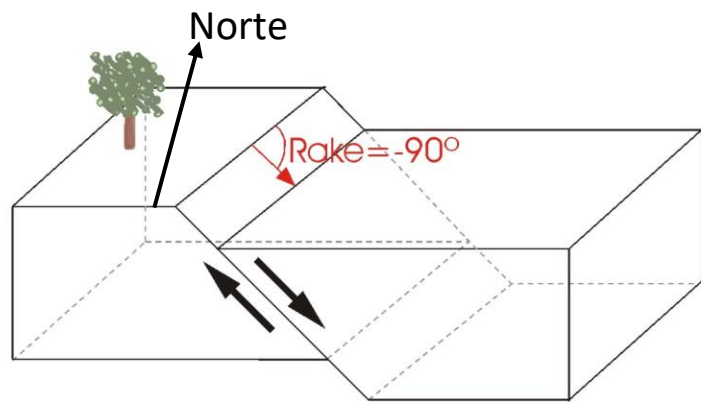
$\vec{u}$  = vector deslocamento =  $\vec{d}$

Convenio sismológico:

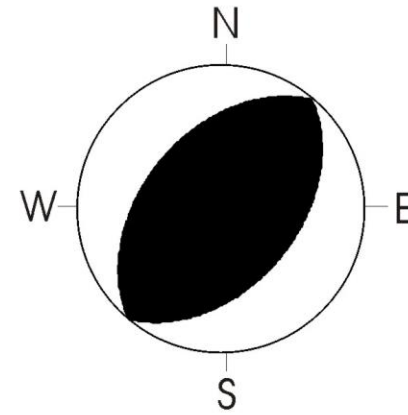
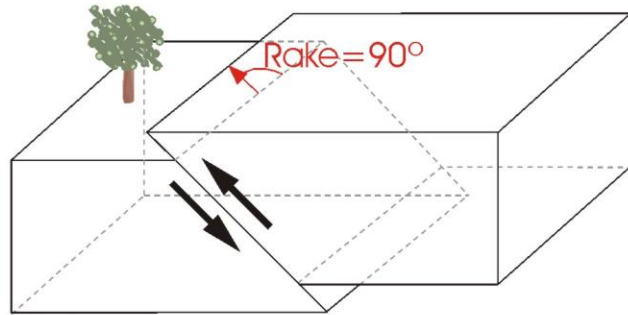
Dirección del plano (strike,  $\phi$ ) tal que el rumbo del buzamiento sea  $90^\circ$  más adelante.

Ángulo del desplazamiento (rake, "slip angle",  $\lambda$ ): de la horizontal p/ arriba: falla

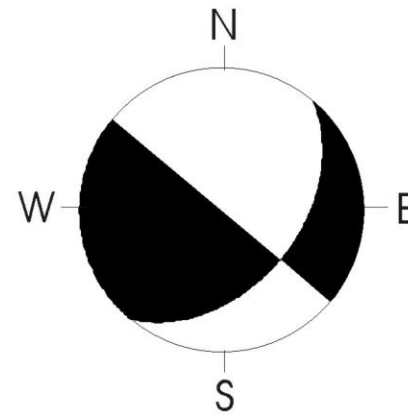
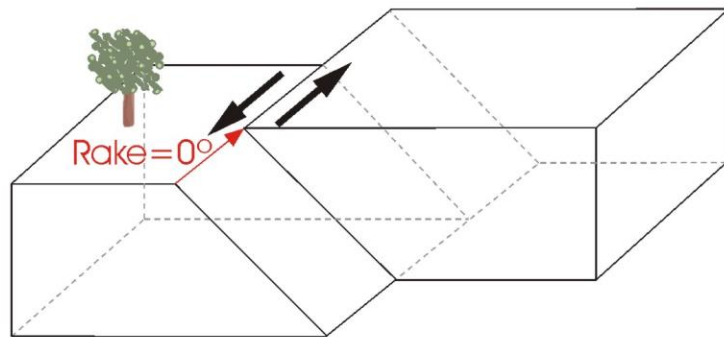
inversa:  $\lambda > 0$ ; falla normal:  $\lambda < 0$ .



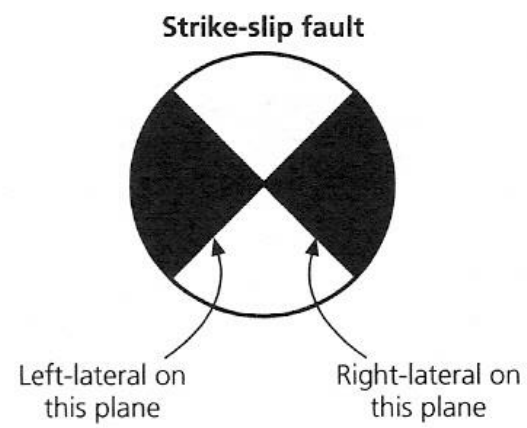
str=45 dip=45 rake=-90



str=45 dip=45 rake=+90

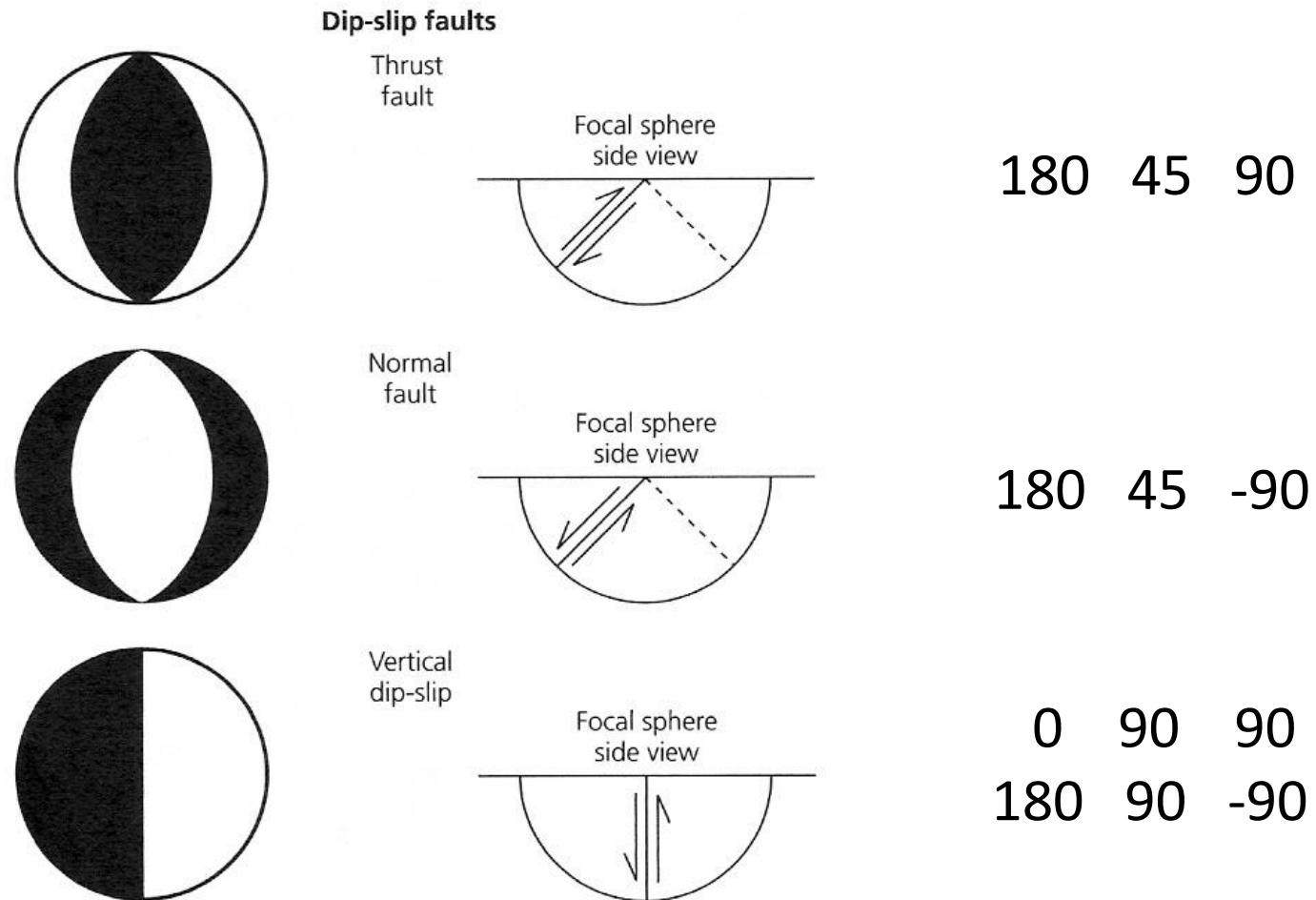


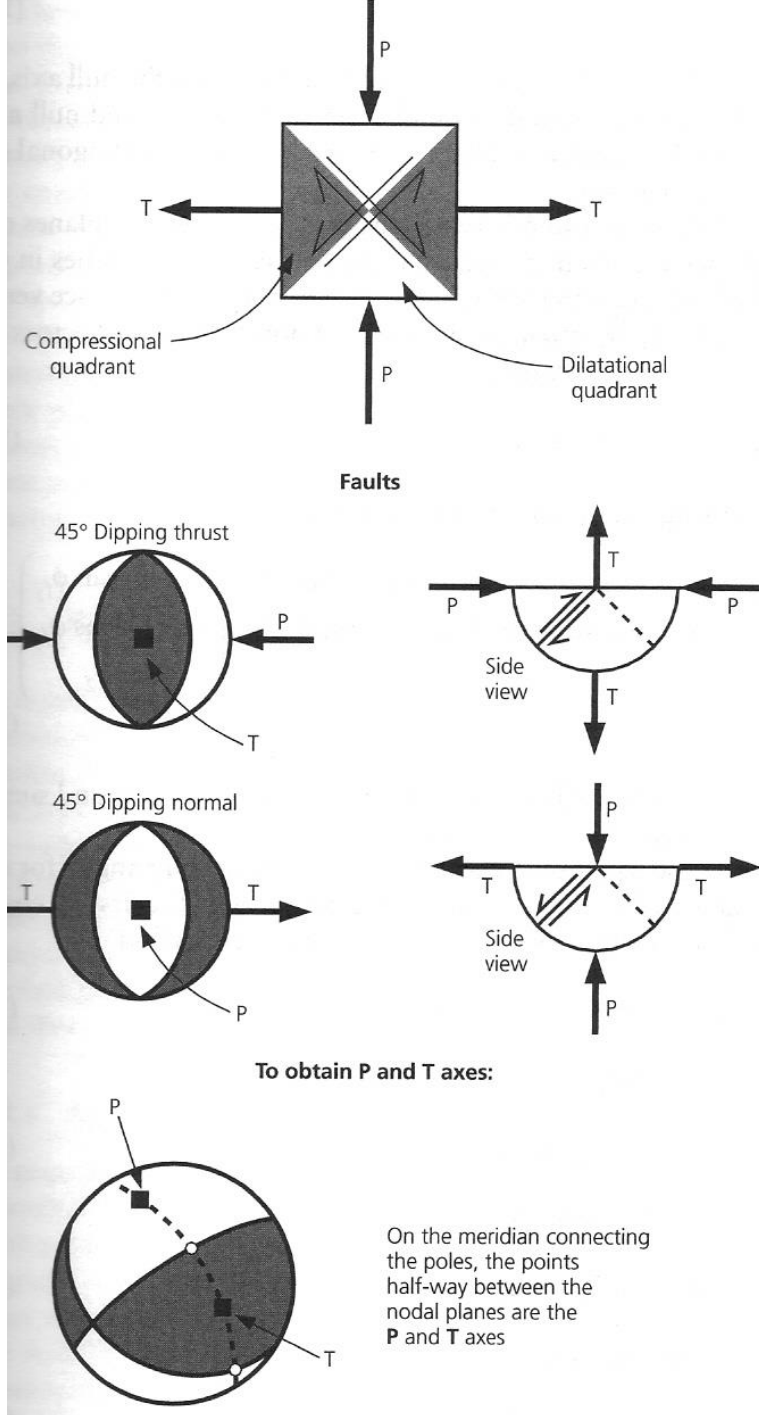
str=45 dip=45 rake=0



## Exercício

Para cada caso, determinar o strike, dip e rake

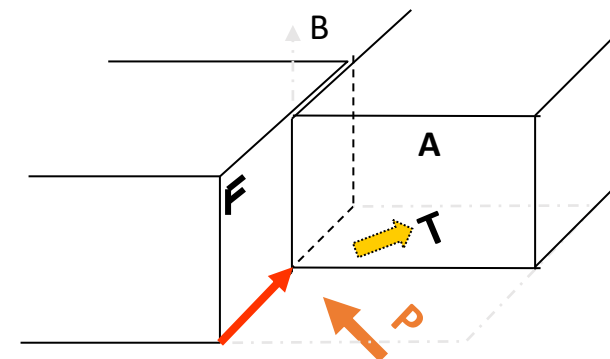




## Ejes P y T

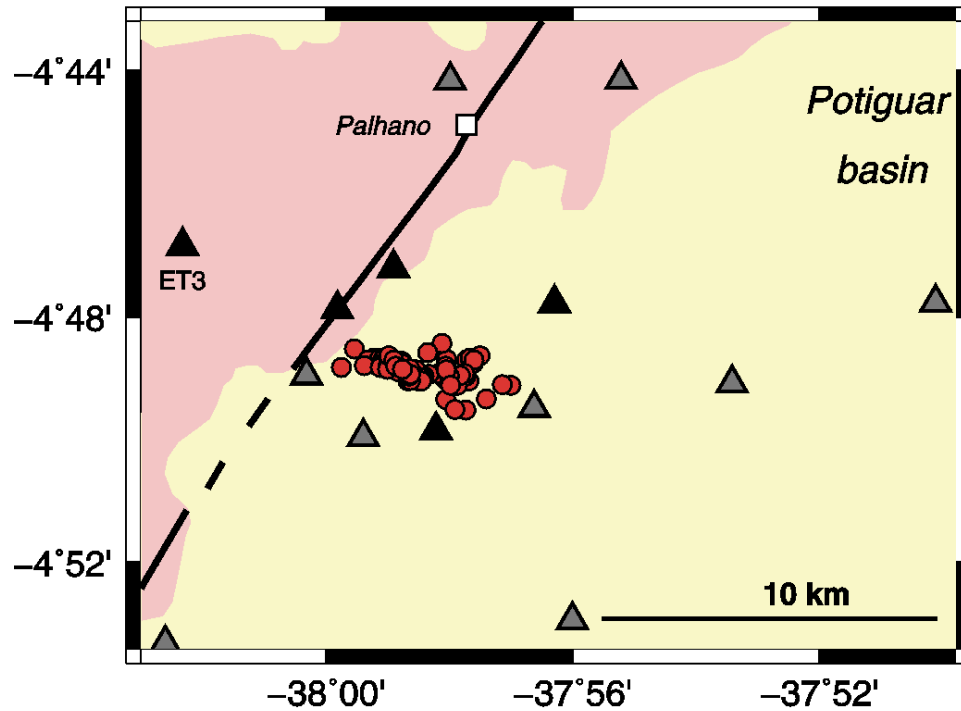
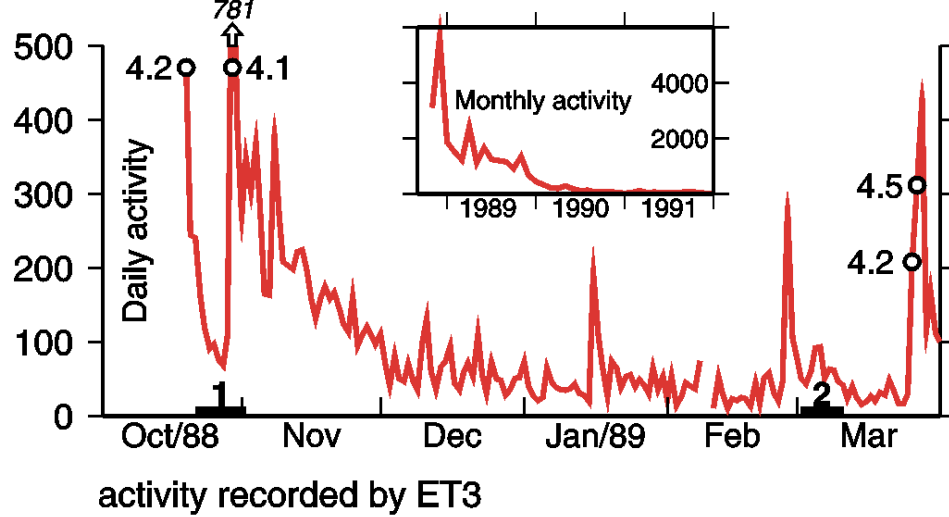
Ejes P y T están a  $45^\circ$  de los planos F y A, y son perpendiculares al eje nulo (B).

P, T, el polo de F y el polo de A (**estría**) están en un mismo plano cuyo polo es B.







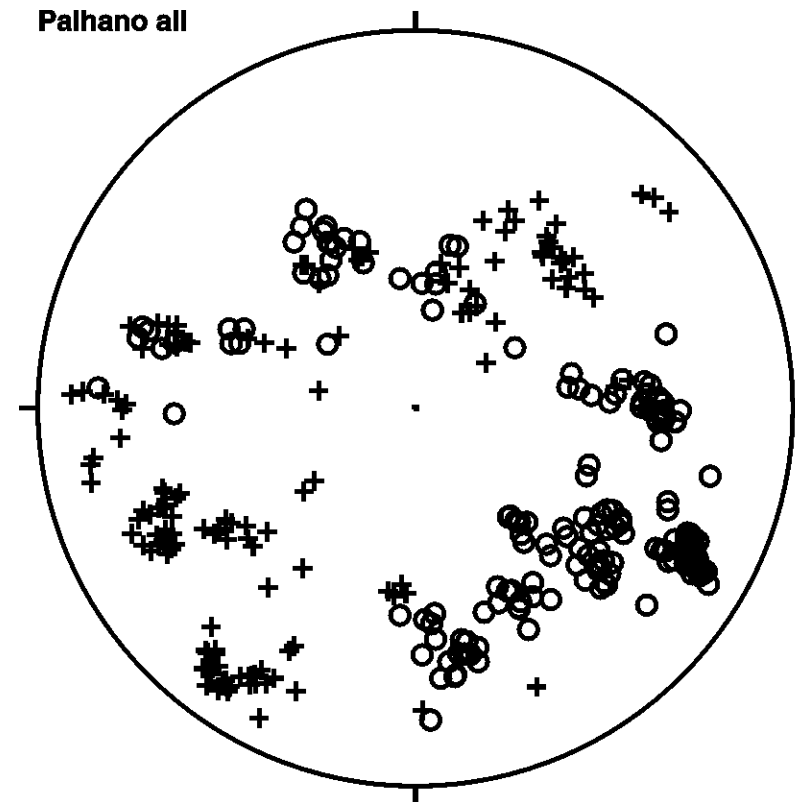


### Exercício 1:

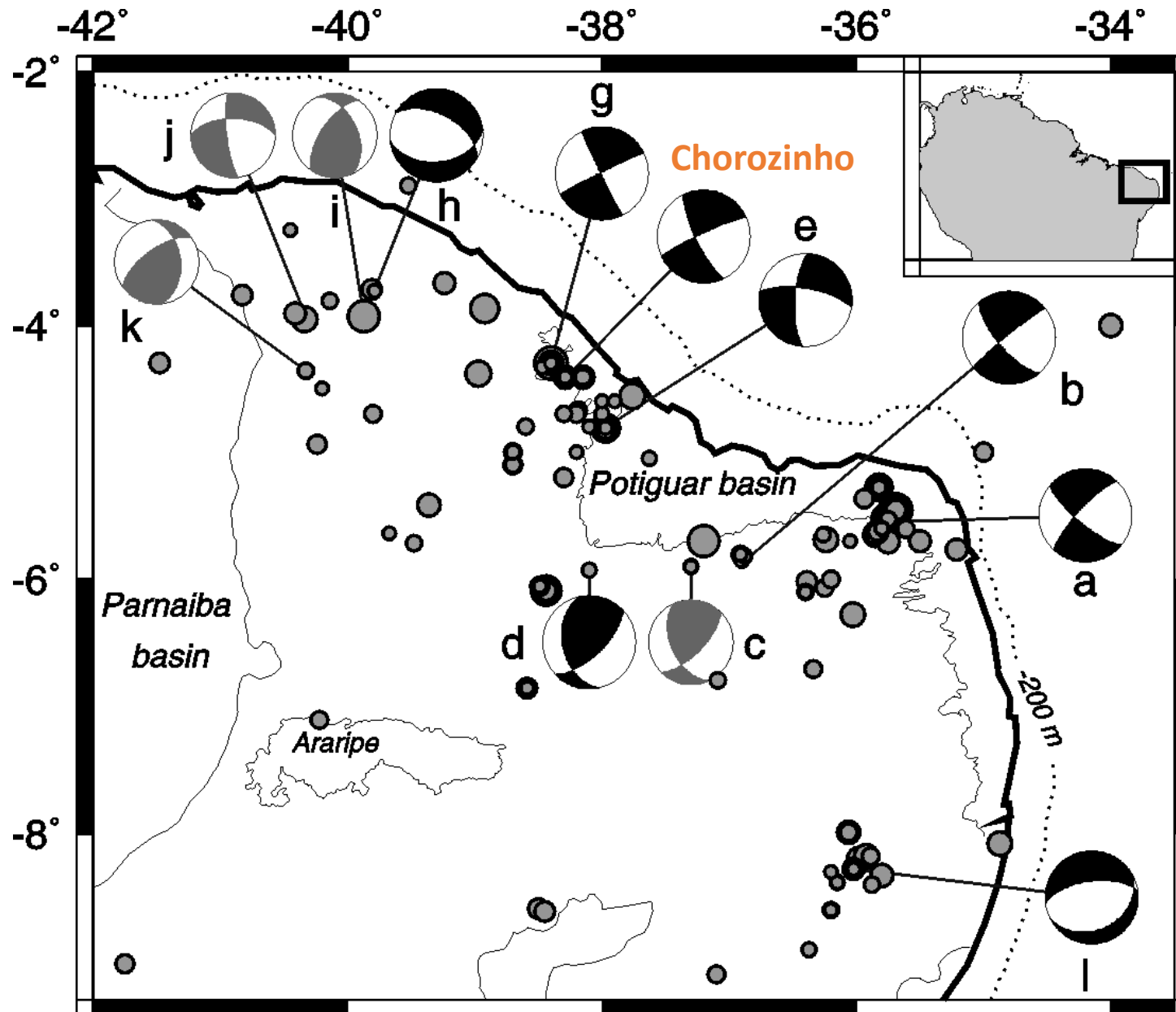
Usar el programa *fps* para determinar el “mecanismo compuesto” para la actividad de Palhano, NE de Brasil.

Estimar

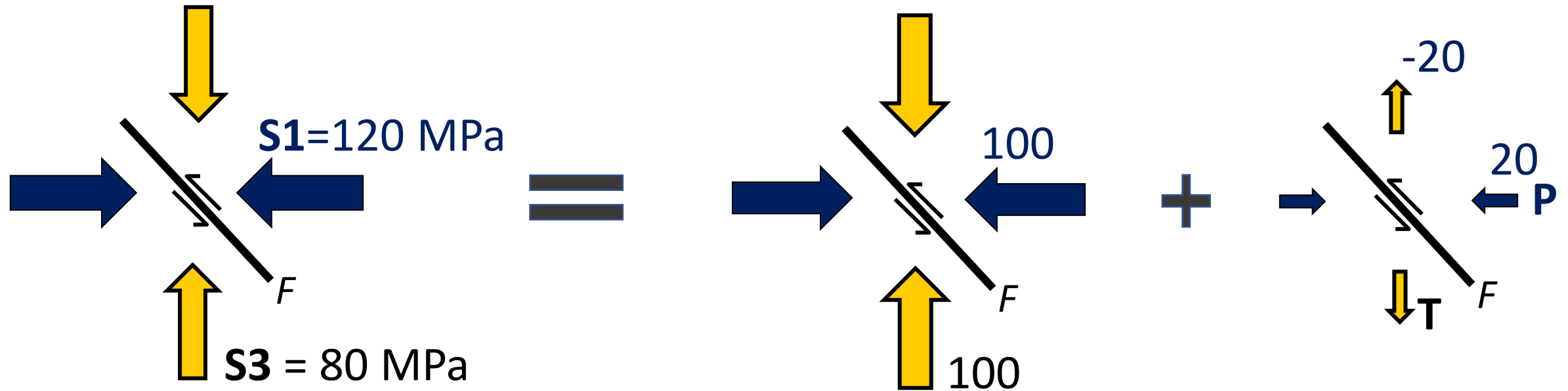
- a) el strike, dip y rake de la falla,
- b) los ejes P y T
- c) el tipo de mecanismo (reverso, normal, transcurrente).



# Mecanismos Focales en Nordeste de Brasil



Eixos **P** (pressão) e **T** (tração) = tensões relativas  
Eixos **S1**, **S2**, e **S3** = tensões principais (absolutas)



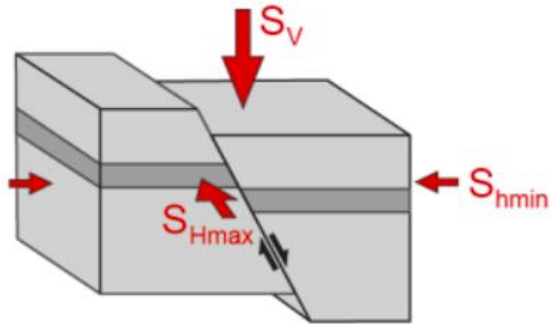
Tensões absolutas

Pressão litostática  
 $= \rho g z$

Tensões relativas,  
ou desviatóricas

# Regimes de Esforço (*Stress Tensor Regime*)

$$S_1 > S_2 > S_3$$

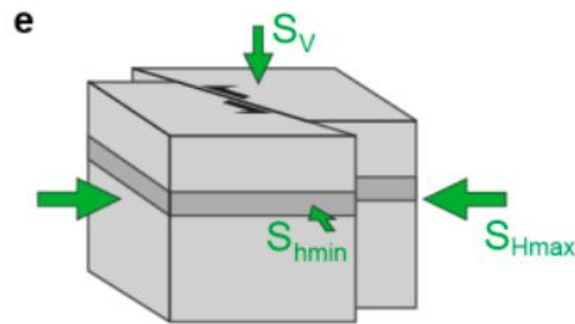


Normal Faulting (NF)  
 $S_v > S_{Hmax} > S_{hmin}$

Normal

$$S_v = S_1$$

$$S_{Hmax} = S_2$$

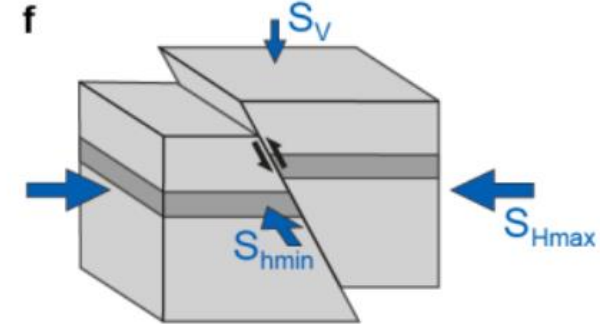


Strike-Slip (SS)  
 $S_{Hmax} > S_v > S_{hmin}$

Transcorrente

$$S_v = S_2$$

$$S_{Hmax} = S_1$$

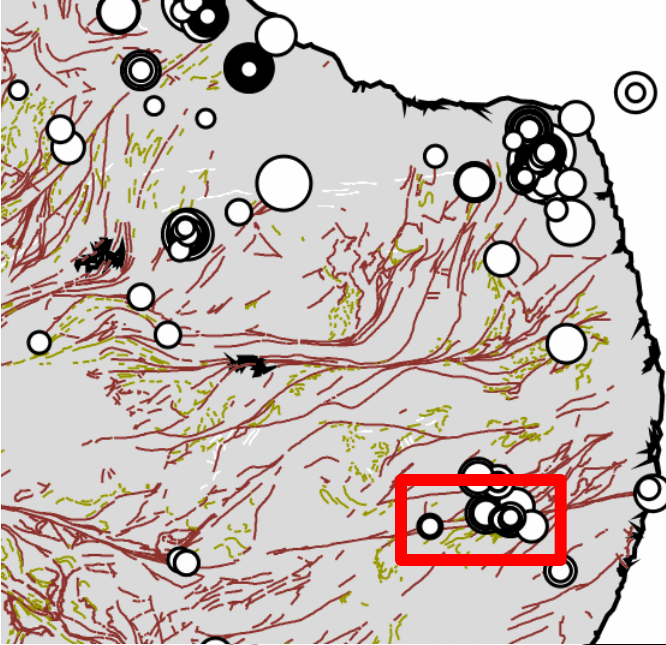


Thrust Faulting (TF)  
 $S_{Hmax} > S_{hmin} > S_v$

Inverso

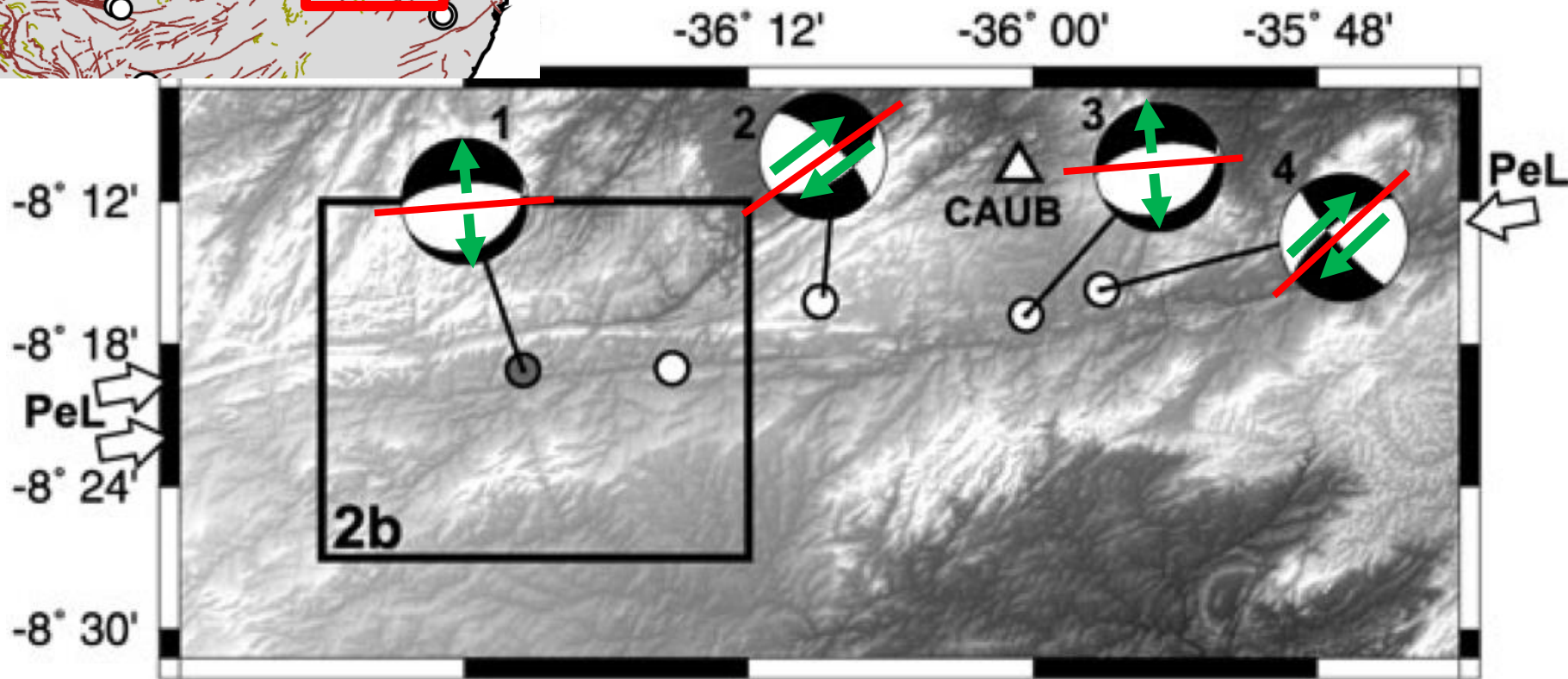
$$S_v = S_3$$

$$S_{Hmax} = S_1$$

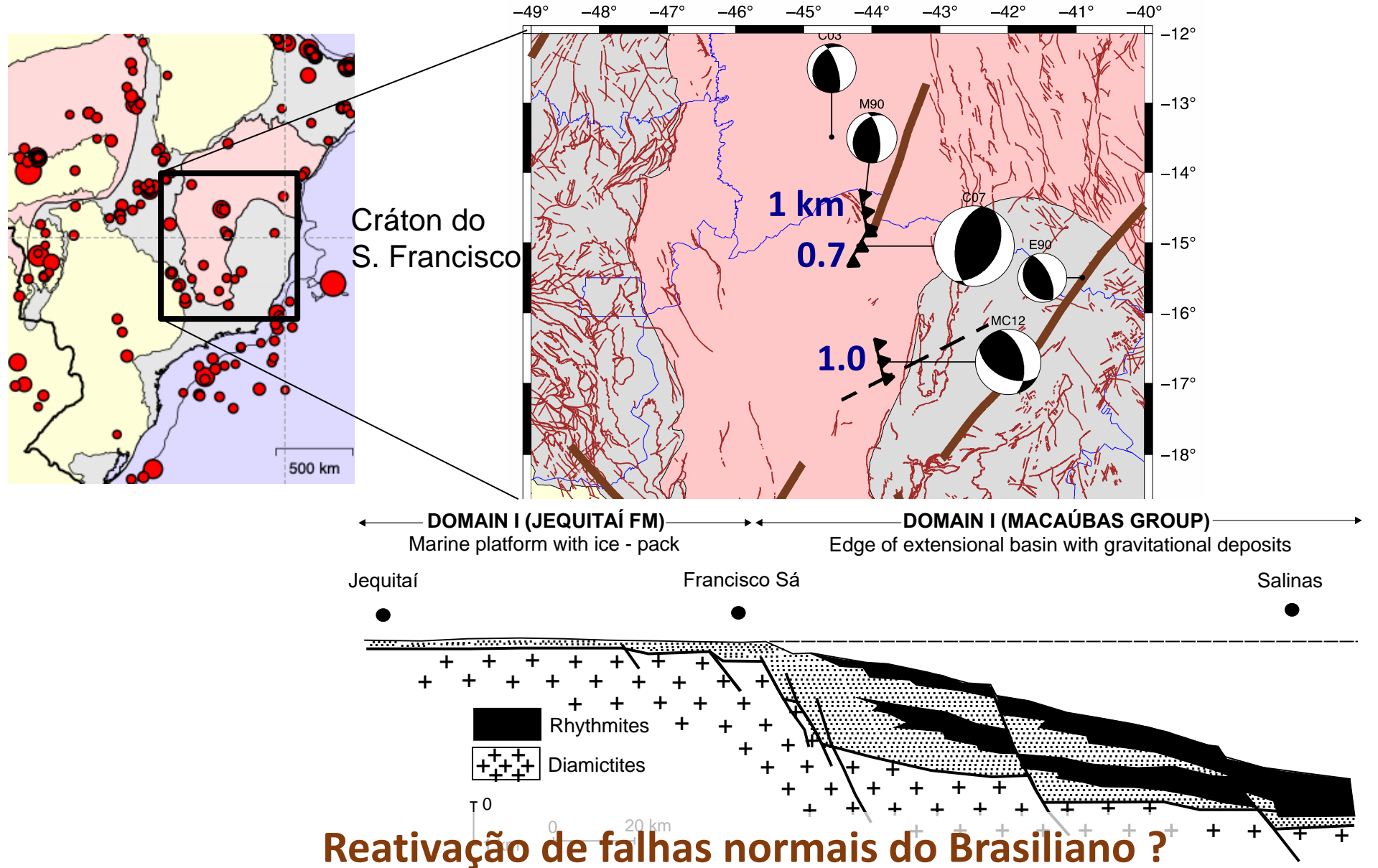


Sismos no Lineamento de Pernambuco:  
reativação de estruturas antigas mapeadas na  
superfície. Exceção em regiões intraplaca !!

Lin. de Pernambuco



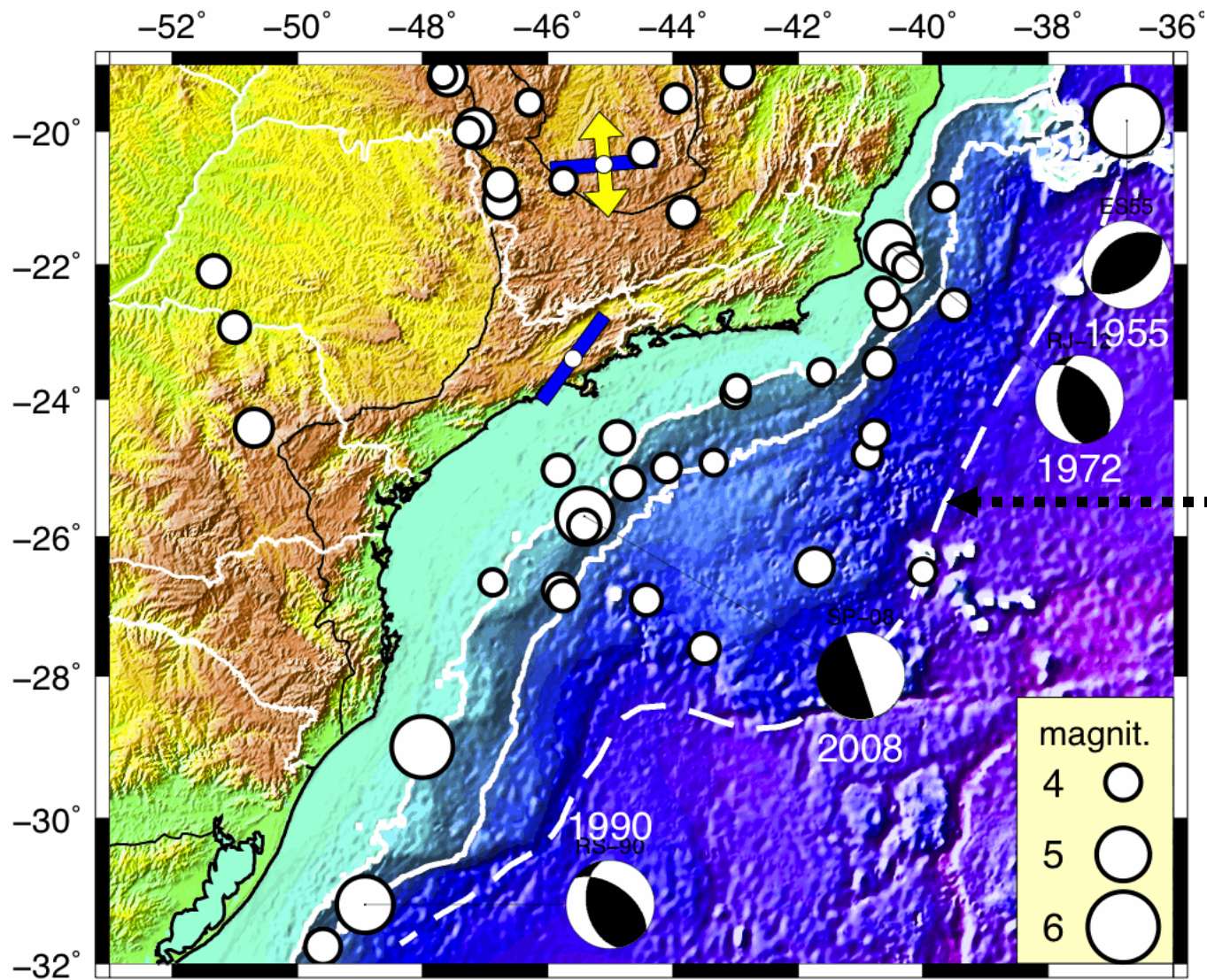
# Predominância de falhas inversas, rasas



**Reativação de falhas normais do Brasileiro ?**

Uhlein (1998)



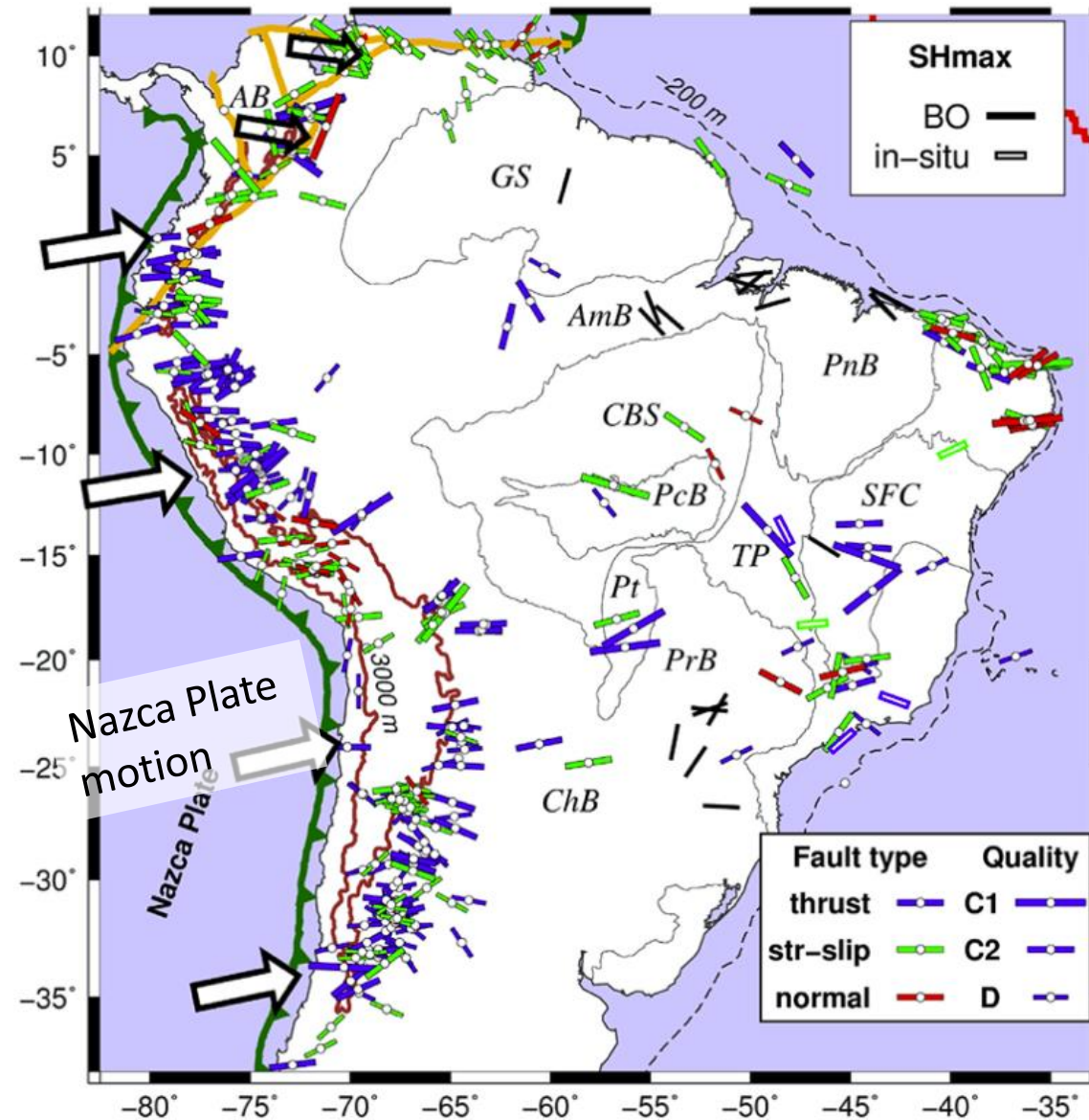


**limite de crosta  
continental  
extendida**

epicentros, catálogo uniforme



# Stress patterns - dados individuais



Average  
BreakOuts  
Hydrofrac +  
Overcoring

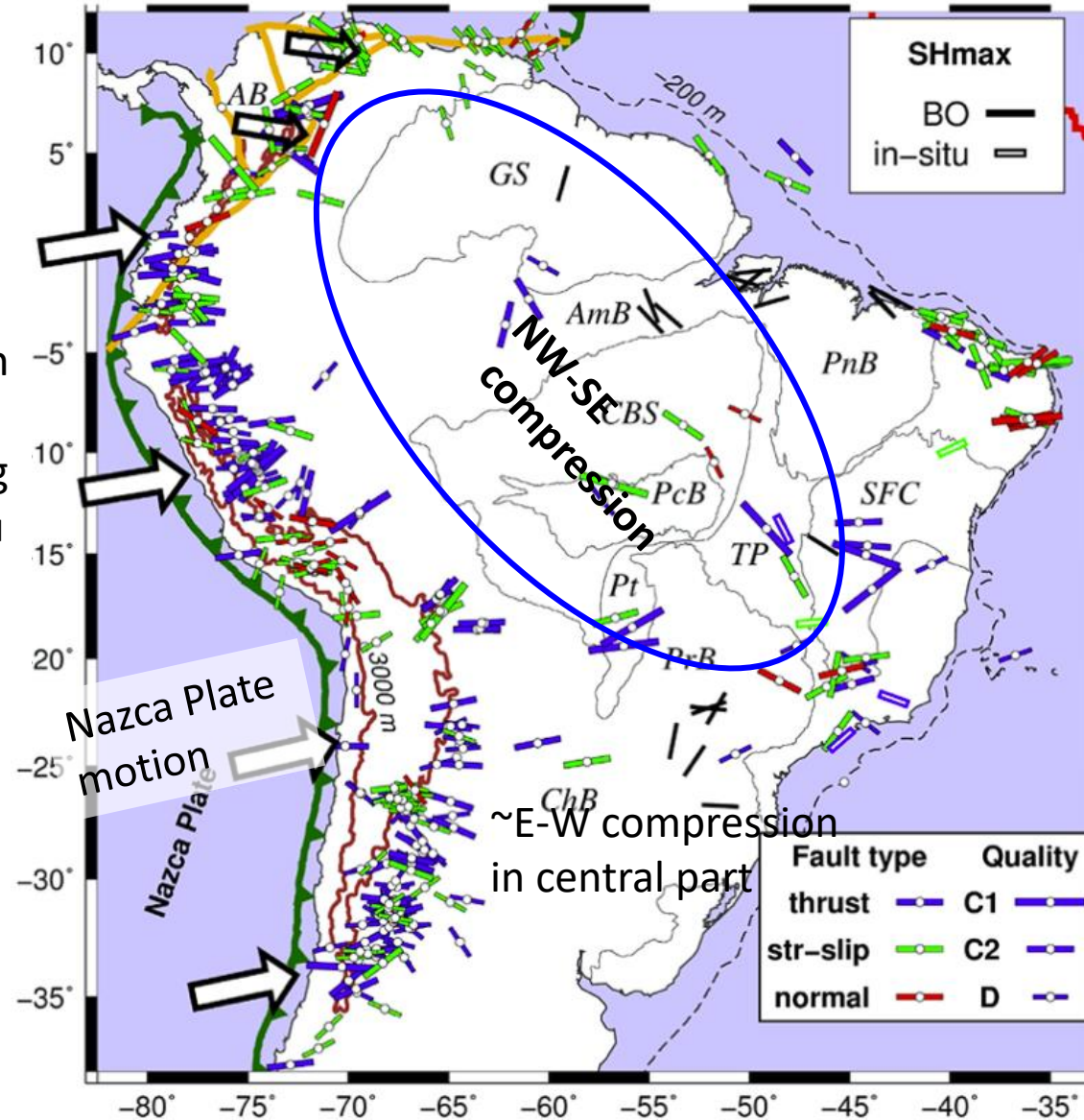
# Stress patterns - dados individuais

Andean Region:

~E-W compression

Effect of spreading of Andean Plateau

Extension in high Andes



Average  
BreakOuts

Hydrofrac +  
Overcoring

~ Coast-parallel  
compression

~E-W compression  
in central part

# Stress patterns - dados médios

